

УДК 533.952

А. Б. Будько, М. А. Либерман

**АВТОМОДЕЛЬНЫЕ РЕШЕНИЯ ДЛЯ ДИНАМИКИ ПЛАЗМЫ  
В ПИНЧЕ ВЫСОКОЙ ПЛОТНОСТИ**

В последнее время большой интерес вызывают исследования сильноточных разрядов — линейных  $z$ -пинчей — в плазме высокой плотности. Этот интерес обусловлен проблемой создания источников излучения большой интенсивности и использования  $z$ -пинчей в замороженных дейтериевых нитях как нового перспективного метода для получения термоядерной энергии [1—4].

Для лучшего понимания физических процессов, протекающих в плазме  $z$ -пинча, необходимо знать распределения тока, температуры и плотности, зависящие от динамики плазмы. Автомодельные решения, описывающие динамику  $z$ -пинча в приближении бездиссипативной магнитной гидродинамики, изучались в [5—8]. Такое приближение имеет место при относительно большом токе и низкой плотности плазмы в  $z$ -пинче, когда скорости движения и температура плазмы достаточно велики и диссипативными членами в уравнениях можно пренебречь в меру большой величины магнитного числа Рейнольдса ( $R_m = uR/\nu_m \gg 1$ ).

В настоящей работе рассматриваются автомодельные решения для динамики  $z$ -пинча в плотной плазме при относительно небольших токе и температуре плазмы пинча. Протекание электрического тока в  $z$ -пинче достаточно большой плотности вызывает нагрев и разлет плазмы, причем в условиях экспериментов [1—4] скорость разлета и температура плазмы невелики, так что  $R_m \approx 1,2 \cdot 10^{-7} R^2 \tau^{-1} T_{эВ}^{3/2} \lesssim 1$ . При этом динамика плазмы  $z$ -пинча определяется джоулевым нагревом, а в уравнениях МГД следует учитывать члены с конечной проводимостью. Вместе с тем в широком диапазоне изменений параметров вязкость плазмы незначительна и соответствующими членами в уравнениях движения и переноса тепла можно пренебречь при  $Re = uR/\nu \gg 1$ .

**1. Исходные уравнения. Автомодельные переменные.** Для плотной плазмы воспользуемся уравнениями магнитной гидродинамики в одно-температурном приближении ( $T_i = T_e = T$ ) [9]:

$$(1) \quad \frac{\partial n}{\partial t} + \text{div}(nu) = 0;$$

$$(2) \quad \frac{\partial \mathbf{B}}{\partial t} = \text{rot} \left\{ [\mathbf{u} \times \mathbf{B}] - \frac{c\mathbf{R}}{en} \right\};$$

$$(3) \quad \frac{\partial \mathbf{u}}{\partial t} + (\mathbf{u} \cdot \nabla) \mathbf{u} = \frac{1}{c\rho} [\mathbf{j} \times \mathbf{B}] - \frac{1}{\rho} \nabla P;$$

$$(4) \quad \frac{3}{2} n \left[ \frac{\partial T}{\partial t} + (\mathbf{u} \cdot \nabla) T \right] + P \text{div} \mathbf{u} = - \text{div} \mathbf{q} + \frac{\mathbf{j}^2}{\sigma} + \frac{\mathbf{j} \cdot \mathbf{R}_T}{en}.$$

Здесь  $\rho = m_i n$  — плотность плазмы;  $n$  — плотность числа частиц;  $\mathbf{u}$  — скорость;  $P = 2nT$  — давление;  $\mathbf{B}$  — магнитное поле;  $\mathbf{q}$  — плотность потока тепла;  $\mathbf{j} = (c/4\pi) \text{rot} \mathbf{B}$  — плотность электрического тока;  $\mathbf{R}$  и  $\mathbf{R}_T$  — сила трения и термосила;  $\sigma = (e^2 n / m_e) \tau_e$  — проводимость плазмы.

Рассмотрим случай немагнитной плазмы, соответствующей условиям экспериментов [1—4]. Используя явный вид кинетических коэффициентов [9] и сравнивая между собой диссипативные члены в правых частях уравнений (2)—(4), покажем, что все диссипативные члены малы по сравнению с джоулевыми диссипациями в меру малости параметров:

$$(5) \quad \omega_e \tau_e \ll 1, \beta \omega_e \tau_e \ll 1 \quad (\beta = 4\pi P/B^2 \sim 1).$$

Пренебрегая инерционными членами в (3) для дозвуковых течений и оставляя в силу (5) в уравнениях только члены с конечной проводимостью

мостью, перепишем (1)–(4) в цилиндрических координатах:

$$(6) \quad \frac{\partial n}{\partial t} + \frac{1}{r} \frac{\partial}{\partial r} (nru) = 0;$$

$$(7) \quad \frac{\partial B}{\partial t} + \frac{\partial}{\partial r} (uB) = \frac{\partial}{\partial r} \left( \frac{v_m}{r} \frac{\partial}{\partial r} (rB) \right);$$

$$(8) \quad \frac{1}{4\pi r} B \frac{\partial}{\partial r} (rB) + \frac{\partial P}{\partial r} = 0;$$

$$(9) \quad 3n \left( \frac{\partial T}{\partial t} + u \frac{\partial T}{\partial r} \right) + P \frac{1}{r} \frac{\partial}{\partial r} (ru) = \frac{v_m}{4\pi r^2} \left( \frac{\partial}{\partial r} (rB) \right)^2,$$

где  $u \equiv u_r$  и  $B \equiv B_\phi$  — радиальная компонента скорости и азимутального магнитного поля;  $v_m = c^2/(4\pi\sigma)$  — магнитная вязкость.

На оси скорость частиц плазмы и магнитное поле обращаются в нуль, а на границе пинча при  $r = R(t)$  плотность обращается в нуль, а магнитное поле соответствует полному току. Таким образом, граничные условия для системы уравнений (6)–(9):  $u = 0$ ,  $B = 0$  при  $r = 0$ ,  $n = 0$ ,  $u = \dot{R}(t)$ ,  $B = (2I(t))/(cR(t))$  при  $r = R(t)$ . Введем автомодельную координату  $\xi = r/R(t)$  и запишем решение (6)–(9) в виде

$$(10) \quad u(r, t) = \dot{R}(t)\xi, \quad n(r, t) = n_0\alpha^{-2}(t)n_1(\xi), \\ T(r, t) = T_0\alpha^{-2\kappa}(t)T_1(\xi), \quad B(r, t) = B_0\alpha^\mu(t)B_1(\xi)$$

( $\alpha(t) = R(t)/R_0$ ,  $R_0 = R(0)$ , — начальный радиус пинча,  $\mu$  и  $\kappa$  — показатели автомодельности).

Связывая произвольные размерные константы соотношением  $16\pi n_0 T_0 = B_0^2$  и переходя в (6)–(9) к автомодельным переменным, находим, что (6) удовлетворяется тождественно, а разделение переменных  $\xi$  и  $t$  в (8) требует выполнения условия

$$(11) \quad \mu + \kappa + 1 = 0.$$

С учетом (11) уравнение (8) в автомодельных переменных принимает вид

$$(12) \quad \frac{\partial}{\partial \xi} (n_1 T_1 + B_1^2) + \frac{2}{\xi} B_1^2 = 0.$$

Переходя к автомодельным переменным и разделяя переменные в (9), получим

$$(13) \quad \left( 1 - \frac{3}{2} \kappa \right) \dot{\alpha} = \lambda^2 \alpha^{3\kappa-1};$$

$$(14) \quad \left[ \frac{1}{\xi} \frac{d}{d\xi} (\xi B_1) \right]^2 = \lambda^2 n_1 T_1^{5/2},$$

где  $\lambda^2$  — константа разделения; точка означает дифференцирование по времени, измеряемому в единицах  $t_0 = R_0/\sqrt{v_m^{(c)}}$  ( $v_m^{(c)} = v_m(t=0, r=R_0)$ ).

Разделение переменных в уравнении индукции (7) приведет к уравнениям

$$(15) \quad (\mu + 1)\dot{\alpha} = 2\beta^2(\zeta + 1)\alpha^{3\kappa-1};$$

$$(16) \quad \frac{d}{d\xi} \left( T_1^{-3/2} \frac{1}{\xi} \frac{d}{d\xi} (\xi B_1) \right) = 2\beta^2(\zeta + 1) B_1$$

( $\beta$  — константа разделения,  $\zeta = \lambda^2/\beta^2$ ).

Совместное решение (13) и (15) накладывает условие на константы  $\mu$  и  $\kappa$   $\mu = -1 - \kappa = -(4\zeta + 5)/(2\zeta + 3)$  и приводит к временной зависимости функций в автомодельных решениях

$$(17) \quad \alpha(t) = \left( 1 + 2\lambda^2 \frac{t}{t_0} \right)^{-1-3/2\zeta}.$$

Профили автомодельных переменных  $n_1(\xi)$ ,  $T_1(\xi)$ ,  $B_1(\xi)$  можно найти из решения системы обыкновенных дифференциальных уравнений (12), (14), (16) с граничными условиями  $T_1(0) = n_1(0) = 1$ ,  $B_1(0) = 0$ .

Прежде чем перейти к исследованию решений, заметим, что возможные автомодельные решения могут представлять асимптотику истинного движения плазмы, если временная зависимость тока z-пинча для такого решения согласуется с изменением тока в цепи, z-пинч — внешний источник тока.

Учитывая автомодельное представление для плотности электрического тока

$$j(r, t) = \frac{cB_0}{4\pi R_0} \alpha^{\mu-1} \frac{1}{\xi} \frac{d}{d\xi} (\xi B_1),$$

находим выражение для временной зависимости полного тока в z-пинче:

$$(18) \quad I(t) = 2\pi \int_0^{R(t)} j(r, t) r dr = \frac{1}{2} cR(t) B(t) \lim_{\xi \rightarrow 1} \xi B_1(\xi).$$

Из (18), согласно (17) и (10), следует, что при  $-1 < \zeta < 0$  автомодельные решения отвечают разлету плазмы при уменьшении температуры и плотности на стадии убывания полного тока, а при  $-3/2 < \zeta < -1$  — возрастанию полного тока и разлету плазмы при уменьшении плотности и повышении температуры. Решения, соответствующие  $\zeta > 0$  и  $\zeta < -3/2$ , могут описывать автомодельный режим сжатия при увеличении полного тока, температуры и плотности.

**2. Автомодельные решения.** Для качественного исследования решений уравнений (12), (14), (16) удобно исключить плотность  $n_1(\xi)$ . Перейдя в уравнения относительно  $B_1$  и  $T_1$ , получившихся после исключения  $n_1$ , к новой переменной  $\eta = \xi^2$  и новым функциям  $Y = T_1^{-3/2}(\eta)$ ,  $\psi = \eta^{1/2} B_1(\eta)$ , имеем

$$(19) \quad \frac{d}{d\eta} \left( Y \frac{d\psi}{d\eta} \right) - \frac{\lambda^2}{2\zeta} (\zeta + 1) \frac{1}{\eta} \psi = 0;$$

$$(20) \quad \frac{d}{d\eta} \left[ Y \left( \frac{d\psi}{d\eta} \right)^2 \right] + \frac{\lambda^2}{2} \frac{\psi}{\eta} \frac{d\psi}{d\eta} = 0.$$

Граничные условия для  $Y$  и  $\psi$  есть

$$(21) \quad \psi(0) = 0, \quad Y(0) = 1, \quad \frac{d\psi}{d\eta}(0) = \lambda/2,$$

где, не ограничивая общности, можно положить  $\lambda > 0$ . С учетом (21) найдем первый интеграл системы (19), (20):

$$(22) \quad \left( \frac{2}{\lambda} \frac{d\psi}{d\eta} \right)^{3\zeta+2} = Y^{-(2\zeta+1)},$$

в частности,

$$(23) \quad Y = \text{const} = 1 \text{ при } \zeta = -2/3.$$

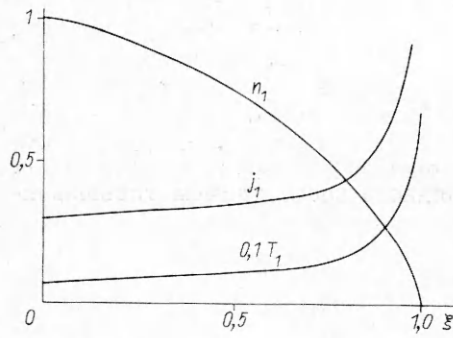
С помощью (22), исключив из (19)  $Y$ , имеем

$$(24) \quad \frac{d}{d\eta} \left[ \left( \frac{2}{\lambda} \frac{d\psi}{d\eta} \right)^{-\frac{3\zeta+2}{2\zeta+1}} \frac{d\psi}{d\eta} \right] - \frac{\lambda^2}{2\zeta} (\zeta + 1) \frac{1}{\eta} \psi = 0.$$

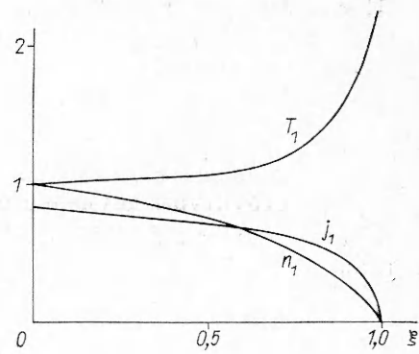
Уравнение (24) относится к классу обобщенно-однородных. Стандартным методом его порядок можно понизить.

Вводя новую переменную  $y = (\lambda/2)^{\zeta/(3\zeta+2)} \eta^{-(\zeta+1)/(3\zeta+2)} \psi(\eta)$  и новую функцию  $p(y) = dy/(d \ln \eta)$ , из (24) при  $\zeta \neq -2/3$  и  $\zeta \neq -1/2$  получаем дифференциальное уравнение первого порядка относительно  $p(y)$ :

$$(25) \quad p \frac{dp}{dy} - \frac{\zeta}{3\zeta+2} p - \frac{(\zeta+1)(2\zeta+1)}{(3\zeta+2)^2} y + \frac{4\zeta+2}{\zeta} y \left( \frac{\zeta+1}{3\zeta+2} y + p \right)^{\frac{3\zeta+2}{2\zeta+1}} = 0.$$



Р и с. 1



Р и с. 2

Качественное исследование поведения решений уравнения (25) может быть проведено обычными методами. Поведение интегральных кривых уравнения (25), а также вид автомодельных профилей существенно зависят от параметра  $\zeta$ . При  $\zeta < -1$  и  $\zeta > 0$  решения отвечают сжатию или разлету плазмы, плотность которой не обращается в нуль на конечных расстояниях от оси, а полная масса и ток расходятся, т. е. такие решения не имеют непосредственного физического смысла. Для  $0 > \zeta > -1$  решения соответствуют динамике плазмы пинча с резкой границей. Асимптотическое поведение автомодельных профилей вблизи границы пинча при  $\xi \rightarrow \xi_0$ , где  $\xi_0$  — граница пинча, запишем в виде

$$\psi \sim \psi_0 - \psi_1(\xi_0^2 - \xi^2)^{-\zeta/(\zeta+1)}, \quad n_1 \sim (\xi_0 - \xi)^{(3\zeta+4)/(3\zeta+3)}, \\ T_1 \sim (\xi_0 - \xi)^{-(6\zeta+4)/(3\zeta+3)}, \quad j_1 \sim (\xi_0 - \xi)^{-(2\zeta+1)/(\zeta+1)}.$$

Для  $-1/2 < \zeta < 0$  температура и плотность электрического тока возрастают при приближении к границе пинча  $\xi \rightarrow \xi_0$ . Для  $-2/3 < \zeta < -1/2$  плотность тока обращается в нуль при  $\xi \rightarrow \xi_0$ , однако температура возрастает при приближении к границе. Для  $-1 < \zeta < -2/3$  как температура, так и плотность электрического тока обращаются в нуль при  $\xi \rightarrow \xi_0$ . Примеры автомодельных профилей для  $\zeta = -0,2$  и  $-0,6$  приведены на рис. 1 и 2 соответственно.

**3. Аналитические решения.** При некоторых значениях  $\zeta$  решение системы уравнений (19), (20) может быть получено в замкнутой аналитической форме. Для  $\zeta = -2/3$  из (19) и (23) находим

$$(26) \quad Y = 1, \quad \frac{d^2 \psi}{d\eta^2} + \frac{\lambda^2}{4\eta} \psi = 0.$$

Решение (26) с граничными условиями (21) есть  $\psi = \xi J_1(\lambda \xi)$ . Здесь  $J_1(x)$  — функция Бесселя, а условие обращения в нуль плотности тока на границе пинча при  $\xi = \xi_0 = 1$  определяет  $\lambda = j_{0,1} = 2,405$ , где  $j_{0,1}$  — первый нуль функции Бесселя нулевого порядка.

Таким образом, автомодельные решения при  $\zeta = -2/3$  имеют вид

$$\alpha(t) = R(t)/R_0 = (1 + 2\lambda^2 t/t_0)^{5/4}, \quad T(\xi, t) = T_0 \alpha^{-4/5}, \\ n(\xi, t) = n_0 \alpha^{-2} [J_0(\lambda \xi)]^2, \quad B(\xi, t) = B_0 \alpha^{-7/5} J_1(\lambda \xi), \\ j(\xi, t) = \frac{\lambda c B_0}{4\pi R_0} \alpha^{-12/5} J_0(\lambda \xi), \quad I(t) = c B_0 R_0 J_1(\lambda) \alpha^{-2/5}(t).$$

Это решение описывает разлет изотермического пинча при спадании полного тока в пинче:  $I(t) \sim t^{-1/2}$  при  $t/t_0 \gg 1$ .

Для  $\zeta = -1$  из уравнений (22) и (19) находим  $\psi = (1/2)\lambda\eta$ ,  $Y = 1 - (1/2)\lambda^2\eta$ . Отсюда

$$R(t) = R_0(1 + 2\lambda^2 t/t_0)^2, \quad n(\xi, t) = n_0 \alpha^{-2}(1 - (1/2)\lambda^2 \xi^2)^{5/3}, \\ T(\xi, t) = T_0 \alpha^{-1}(1 - (1/2)\lambda^2 \xi^2)^{-2/3}, \quad B(\xi, t) = B_0 \alpha^{-2/3}(1/2)\lambda \xi, \\ j(\xi, t) = \frac{\lambda c B_0}{4\pi R_0} \alpha^{-5/2}(t), \quad I(t) = \frac{1}{4} c \lambda R_0 B_0 \alpha^{-1/2}(t).$$

На границе пинча при  $\xi = \xi_0 = 1$  давление и плотность плазмы обращаются в нуль при  $\lambda = \sqrt{2}$ , что соответствует разлету плазменного шнура пинча с постоянной по сечению плотностью тока при спадаании полного тока в цепи и перегреве плазмы вблизи границы пинча.

Для  $\xi = -1$  решение уравнений (22) и (19) имеет вид  $\psi = 2\lambda\eta/(4 + \lambda^2\eta)$ ,  $Y = (1 + (1/4)\lambda^2\eta)^2$  и отвечает пинчу с диффузной границей, а разлет пинча происходит при постоянном полном токе

$$\alpha(t) = (1 + 2\lambda^2 t/t_0)^{1/2},$$

$$n(\xi, t) = n_0 \alpha^{-2} (1 + (1/4)\lambda^2 \xi^2)^{-2/3}, \quad T(\xi, t) = T_0 (1 + (1/4)\lambda^2 \xi^2)^{-4/3},$$

$$B(\xi, t) = B_0 \alpha^{-1} 2\lambda \xi / (4 + \lambda^2 \xi^2), \quad I(t) = (c/\lambda) B_0 R_0 = \text{const.}$$

В последнем случае значение  $\lambda$  определяется величиной полного тока, протекающего в пинче.

#### ЛИТЕРАТУРА

1. Scudder D. W. High-density z-pinch formed from solid deuterium fibres // Bull. Amer. Phys. Soc.— 1985.— V. 30, N 9.
2. Scudder D. W., Dagazian R. Y. et al. Experiments on high-density z-pinch formed from solid deuterium fibres // Bull. Amer. Phys. Soc.— 1986.— V. 31, N 9.
3. Sethian J. D., Robson A. E. et al. Enhanced stability and neutron production in a dense z-pinch plasma formed from a frozen deuterium fiber // Phys. Rev. Lett.— 1987.— V. 59, N 8.
4. Scudder D. W. Experiments on high-density z-pinch formed from solid deuterium fibres.— Los Alamos, 1987.— (CTR — DOT/Los Alamos Nat. Lab.; MS F 640).
5. Liberman M. A., Velikovich A. L. Self-similar motions in z-pinch dynamics // Nucl. Fusion.— 1986.— V. 26, N 6.
6. Куликовский А. Г. К вопросу о пульсации плазменного шнура // ДАН СССР.— 1957.— Т. 114, № 5.
7. Felber F. S. Self-similar oscillations of a z-pinch // Phys. Fluids.— 1982.— V. 25, N 4.
8. Felber F. S., Liberman M. A., Velikovich A. L. Magnetic flux compression by plasma liners // IVth Intern. conf. on megagauss field generation and related topics, Santa Fe, 1986.— N. Y., 1987.
9. Брагинский С. И. Вопросы теории плазмы.— М.: Атомиздат, 1963.— Т. 1.

г. Москва

Поступила 27/VII 1988 г.

УДК 537.521

А. В. Жаринов, С. В. Никонов

### НЕСАМОСТОЯТЕЛЬНЫЙ РАЗРЯД В $E \perp H$ ПОЛЯХ С НЕЗАМКНУТЫМ ЭЛЕКТРОННЫМ ДРЕЙФОМ

Мощные газоразрядные приборы, управляемые малым сигналом, представляют значительный интерес для задач сильноточной электроники и высоковольтной коммутационной техники. В данной работе изучается несамостоятельный разряд в разреженном газе между коаксиальными цилиндрическими электродами во внешнем азимутальном магнитном поле. Показано, что при определенных условиях разряд горит только при наличии внешнего пускового тока и разрядный ток много больше пускового.

Большинство работ, в которых изучался газовый разряд в  $E \perp H$  полях, посвящено самостоятельному разряду с замкнутым электронным дрейфом. Такой разряд применяется в ускорителях плазмы [1], для формирования ионных пучков [2] и может быть использован для магнитной изоляции [3] и генерации импульсов высокого напряжения [4]. В [5] экспериментально исследовался самостоятельный разряд с незамкнутым дрейфом электронов, катод и анод которого — коаксиальные цилиндры радиусов  $R_k$  и  $R_a$  ( $R_k < R_a$ ) и длины  $L \gg R_a$ . Внешнее магнитное поле создавалось текущим по внутреннему цилиндру аксиальным током. Электроны при этом дрейфуют в радиальном электрическом  $E$  и азимутальном магнитном  $H_0$  полях вдоль оси системы  $x$ , размножаясь за счет ионизации и ион-электронной  $\gamma$ -эмиссии с катода. Самостоятельность разряда обеспечивалась тем, что кванты рентгеновского излучения, поступающие в основном с торцевого электрода, находящегося под анодным потенциалом и расположенного при  $x = L$  (где холловский ток максимален), выбивают фотоэлектроны с катода в области  $x = 0$ . При отсутствии рентгеновского потока из области  $x \approx L$  (что достигалось соответствующим изменением геометрии электродов в этой об-